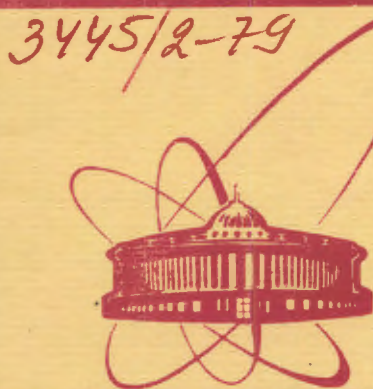


3/1x-79



сообщения  
объединенного  
института  
ядерных  
исследований  
дубна

С 3436 + С 3439  
А - 79

1 - 12347

С. Г. Аракелян, Б. А. Шахбазян

ОЦЕНКА ВЫХОДОВ ОДНОЗАРЯДНЫХ ФРАГМЕНТОВ  
ПО ОТНОШЕНИЮ К ВЫХОДУ ПРОТОНОВ  
В РЕАКЦИЯХ  $p$   $^{12}C$ ,  $d$   $^{12}C$  И  $\alpha$   $^{12}C$

1979

1 - 12347

С. Г. Аракелян, Б. А. Шахбазян

ОЦЕНКА ВЫХОДОВ ОДНОЗАРЯДНЫХ ФРАГМЕНТОВ  
ПО ОТНОШЕНИЮ К ВЫХОДУ ПРОТОНОВ  
В РЕАКЦИЯХ  $p^{12}C$ ,  $d^{12}C$  И  $\alpha^{12}C$

Библиотека  
Государственной  
Библиотеки

Аракелян С.Г., Шахбазян Б.А.

I - 12347

Оценка выходов однозарядных фрагментов по отношению к выходу протонов в реакциях  $p^{12}\text{C}$ ,  $d^{12}\text{C}$  и  $\alpha^{12}\text{C}$

Рассматривается фрагментация ядер углерода при облучении пропановой пузырьковой камеры релятивистскими протонами, дейtronами и  $\alpha$ -частицами. На основе имеющихся экспериментальных данных сделаны оценки выходов вторичных дейтронов, ядер трития и других фрагментов по отношению к выходу протонов в реакциях  $p^{12}\text{C}$ ,  $d^{12}\text{C}$  и  $\alpha^{12}\text{C}$ . Как показали оценки, выходы вторичных дейтронов и тритонов по отношению к выходу протонов различны для треков разных длин.

Работа выполнена в Лаборатории высоких энергий ОИЯИ.

Сообщение Объединенного института ядерных исследований. Дубна 1979

Arakelian S.G., Shahbazian B.A.

I - 12347

An Estimate of Yields of Singly Charged Fragments with Respect to Yields of Protons in the  $p^{12}\text{C}$ ,  $d^{12}\text{C}$ , and  $\alpha^{12}\text{C}$  Reactions

The fragmentation of carbon nuclei at the irradiation of the propane chamber with relativistic protons, deuterons and  $\alpha$ -particles is considered. On the basis of experimental data yields of secondary deuterons, tritons and other fragments were estimated with respect to secondary proton production in  $p^{12}\text{C}$ ,  $d^{12}\text{C}$ ,  $\alpha^{12}\text{C}$  reactions. These ratios depend on track length.

The investigation has been performed at the Laboratory of High Energies, JINR.

Communication of the Joint Institute for Nuclear Research. Dubna 1979

© 1979 Объединенный институт ядерных исследований Дубна

Двухметровая пропановая пузырьковая камера ЛВЭ ОИЯИ облучалась пучками релятивистских протонов, дейтронов, альфа-частиц и ядер углерода различных импульсов. При столкновении частиц высоких энергий и ядер с ядрами происходит сильная фрагментация. Фрагменты мишени в основном медленные и поэтому будут останавливаться в камере. Для широкого круга задач релятивистской ядерной физики из всего многообразия излучений звезды необходимо идентифицировать протоны. Однако есть опасность, что при идентификации за протоны могут быть приняты и другие фрагменты, в особенности однозарядные - дейтроны и ядра трития. Необходимо оценить вклад этих ошибок. Критерием такой оценки принято отношение дифференциального сечения рождения дейтронов, ядер трития и более тяжелых фрагментов к дифференциальному сечению рождения протонов,

т.е. величина  $\beta_{d,t} = \frac{(d^2\sigma/dPd\Omega)_{d,t}}{(d^2\sigma/dPd\Omega)_p}$  в процентах. Изучение ли-

тературы по фрагментации ядер показало, что в работах, как правило, приводится зависимость дифференциального сечения от импульса вторичной частицы. Поскольку при обработке фотографий пузырьковой камеры импульсы останавливающихся в камере частиц вычисляются по длине их пробега, то нагляднее всего иметь отношение выходов протонов и более тяжелых фрагментов ( $\beta$ ) с одинаковыми пробегами, но различными импульсами. Для перевода значений импульсов в величины пробегов воспользуемся зависимостью пробега частицы от ее кинетической энергии  $^{1/2}$ . Для протона эта формула имеет следующий вид:

$$S_p = \rho^{-1} \{ R(2 \text{ МэВ}, J) + \frac{A}{2Z} \Phi_{A1}(T_p) \cdot G \}, \quad /1/$$

где  $S_p$  - пробег протона в см;  $T_p$  - его кинетическая энергия в МэВ;  $\rho$  - плотность рабочей жидкости камеры в г/см<sup>3</sup>;  $A$  - атомный вес наполнения камеры;  $Z$  - атомный номер рабочего вещества камеры,  $J$  - потенциал ионизации жидкости камеры в эВ;  $R / 2$  МэВ,  $J /$  - пробег протона с  $T_p = 2$  МэВ в камере в г/см<sup>2</sup>;

$$G = 1 + G_1 \chi + G_2 \chi^2 + G_3 \chi^3; \chi = \lg(J/J_{A1}); J_{A1} = 166 \text{ эВ.}$$

$G_1$ ,  $G_2$ ,  $G_3$ ,  $\Phi_{A1}$  даны в работе <sup>1/</sup> в виде таблицы, как функции кинетической энергии протона. Для произвольной частицы  $x$  формула зависимости пробега от кинетической энергии имеет вид:

$$S_x(T_x) = (m_x/m_p) \cdot S_p(T_x \cdot m_p/m_x), \quad /2/$$

где  $S_x$  - пробег частицы  $x$  в см,  $T_x$  - ее кинетическая энергия в МэВ,  $m_x$  - ее масса,  $m_p$  - масса протона,  $S_p$  вычисляется по формуле <sup>1/</sup>.

В работе <sup>2/</sup> рассматриваются реакции взаимодействия протона с импульсом  $P_p = 808$  МэВ/с с углеродом. В таблице 1 приведены дифференциальные сечения  $d\sigma/d\Omega$  вторичных протонов, имеющих кинетические энергии  $T_p \geq 36$  МэВ, что соответствует /согласно формулам <sup>1/</sup> и <sup>2//</sup>/ пробегам в пропане  $S_p \geq 2,5$  см; вторичных дейtronов с  $T_d \geq 48$  МэВ, что соответствует  $S_d \geq 2,3$  см; вторичных тритиевых ядер с  $T_t \geq 58$  МэВ,

Таблица 1

Дифференциальные сечения рождения вторичных протонов с  $T_p \geq 36$  МэВ, дейtronов с  $T_d \geq 48$  МэВ и вторичных ядер трития с  $T_t \geq 58$  МэВ под углами  $\theta_{\text{лаб}} = 26$  и  $40^\circ$  в реакции  $p + {}^{12}\text{C}$  при импульсе протона 808 МэВ/с

$\frac{d\sigma_p}{d\Omega}$ (мб/ср.)	$\frac{d\sigma_d}{d\Omega}$ (мб/ср.)	$\frac{d\sigma_t}{d\Omega}$ (мб/ср.)	$\theta_{\text{лаб}}$
70,0±4,0	1,72±0,41	0,120±0,068	26°
52,3±4,0	1,90±0,35	0,148±0,069	40°

что соответствует  $S_t \geq 2,2$  см, рождающихся под углами  $26^\circ$  и  $40^\circ$  в лабораторной системе. Из этих данных следует, что среди вторичных треков, имеющих пробеги в пропане  $\geq 2,5$  см, выход дейtronов по отношению к протонам  $\beta_d$  равен 2,46% при  $\theta_{\text{лаб}} = 26^\circ$  и 3,63% при  $\theta_{\text{лаб}} = 40^\circ$ . Выход же ядер трития по отношению к протонам равен 0,17% при  $\theta_{\text{лаб}} = 26^\circ$  и 0,28% при  $\theta_{\text{лаб}} = 40^\circ$ .

В работе <sup>3/</sup> изучались взаимодействия  $p + {}^{12}\text{C}$  при импульсе налетающего протона 6,57 ГэВ/с. Измерялись спектры вторичных протонов, дейtronов и ядер трития, вылетающих под углом  $137^\circ$  в лабораторной системе. Значения дифференциальных сечений вторичных протонов и дейtronов для различных импульсов и пробегов в пропане приведены в таблицах 2 и 3. Значения

Таблица 2

Дифференциальные сечения образования протонов под углом  $\theta_{\text{лаб}} = 137^\circ$

$S_p$ (см)	$P_p$ (МэВ/с)	$d^2\sigma/dPd\Omega$ (см <sup>2</sup> /ср/МэВ/с)
4,0	300	$2,5 \times 10^{-29}$
10,5	400	$2 \times 10^{-29}$
23,5	500	$1 \times 10^{-29}$
43,0	600	$5 \times 10^{-30}$
67,5	700	$2 \times 10^{-30}$

для  $\beta_d$  и  $\beta_t$ , вычисляемые из данных этой и последующих работ, приведены в табл. 8. На рис. 1 в полулогарифмическом масштабе приведена зависимость дифференциального сечения вторичных протонов и дейtronов от их пробегов в пропане. На рис. 2 приведена зависимость дифференциальных сечений вторичных протонов и дейtronов от их импульсов, при этом импульс дейtronов вычислялся по пробегу в предположении, что это протон, т.е. имитировался тот случай, когда протоны и дейtronы неразличимы. Легко посчитать, что среди треков, имеющих импульсы в 300 МэВ/с, выход дейtronов по отноше-

Таблица 3

Дифференциальные сечения образования дейтронов под углом  $\theta_{\text{лаб}} = 137^\circ$

$S_d$ (см)	$P_d$ (МэВ/с)	$d^2\sigma/dPd\Omega$ ( $\text{см}^2/\text{ср}/\text{МэВ}/\text{с}$ )
4,0	500	$1 \times 10^{-30}$
13,0	700	$4 \times 10^{-31}$
21,0	800	$1,6 \times 10^{-31}$
32,0	900	$5 \times 10^{-32}$
46,5	1000	$6,3 \times 10^{-33}$

нию к протонам равняется 4%. С увеличением импульса это отношение уменьшается, как видно из графика.

В работе <sup>4/</sup> рассматривается взаимодействие протонов энергии 2,9 ГэВ ядрами бериллия. Здесь приводятся импульсные спектры ( $d^2N/dP \cdot d\Omega = f(P)$ ) вторичных протонов, дейтронов и ядер трития, рождающихся под углами  $\theta = 13, 30, 60$  и  $93^\circ$  в лабораторной системе.  $d^2N/dPd\Omega$  - число вторичных частиц данного сорта на ГэВ/с на стерадиан. Можно допустить, что при взаимодействии протона с ядром углерода импульсные спектры вторичных частиц близки к соответствующим спектрам при  $p + ^9\text{Be}$  - взаимодействии. Пользуясь зависимостью пробег-импульс для вторичных протонов, дейтронов и ядер трития в пропане, мы получили их распределения по пробегам для углов 13, 30, 60 и  $93^\circ$  в лабораторной системе /рис. 3, 4, 5 и 6 соответственно/.

В работе <sup>5/</sup> приведены экспериментальные данные энергетической зависимости инвариантных сечений для вторичных протонов, дейтронов и ядер трития, рождающихся под углом  $180^\circ$  в лабораторной системе, в реакции  $p + ^{12}\text{C} \rightarrow$  при импульсе первичного протона 8,6 ГэВ/с. Соответствующие данные представлены в виде зависимости дифференциального сечения от импульса /пробега/ вторичных протонов, дейтронов и ядер трития и приведены в табл. 4.

В работе <sup>6/</sup> представлены экспериментальные результаты по фрагментации ядер углерода релятивистскими дейтронами

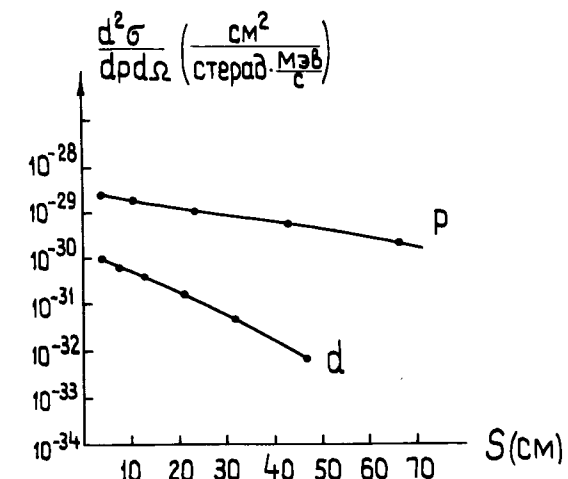


Рис. 1. Зависимость дифференциального сечения вторичных протонов и дейтронов от пробега в пропане для реакции  $p + ^{12}\text{C} \rightarrow$  под углом  $137^\circ$  в лаб. системе при  $P_p = 6,57 \text{ ГэВ}/\text{с}$ .

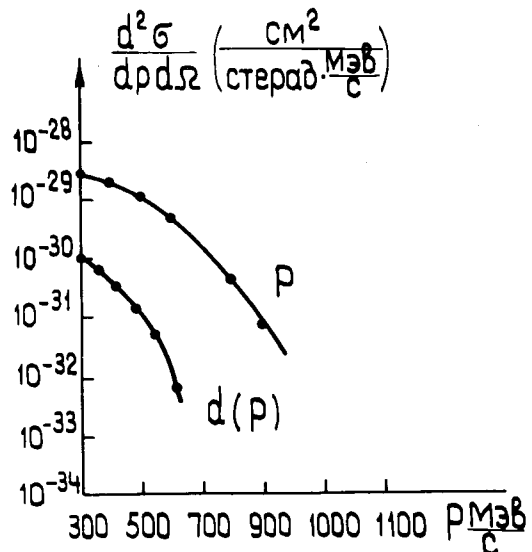


Рис. 2. Зависимость дифференциального сечения вторичных протонов и дейтронов от их импульсов /импульс дейтрона рассчитывается по пробегу в предположении, что это протон/ для реакции  $p + ^{12}\text{C} \rightarrow$  под углом  $137^\circ$  в лаб. системе, при  $P_p = 6,5 \text{ ГэВ}/\text{с}$ .

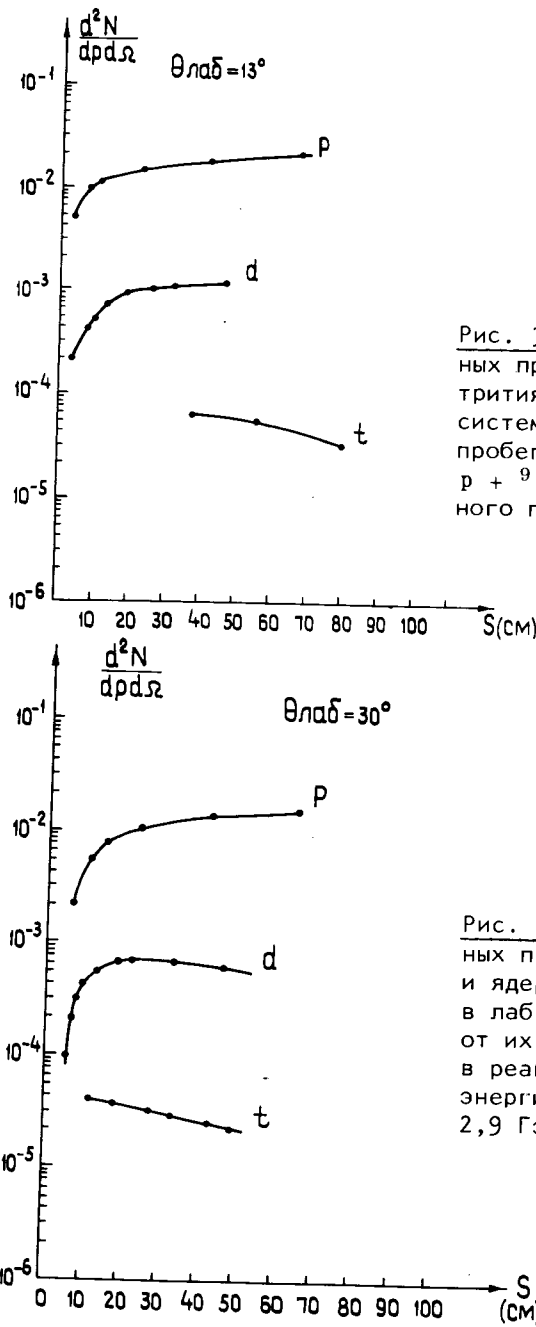


Рис. 3. Распределения вторичных протонов, дейtronов и ядер трития под углом  $13^\circ$  в лаб. системе в зависимости от их пробега в пропане, в реакции  $p + {}^9Be \rightarrow$  при энергии первичного протона 2,9 ГэВ.

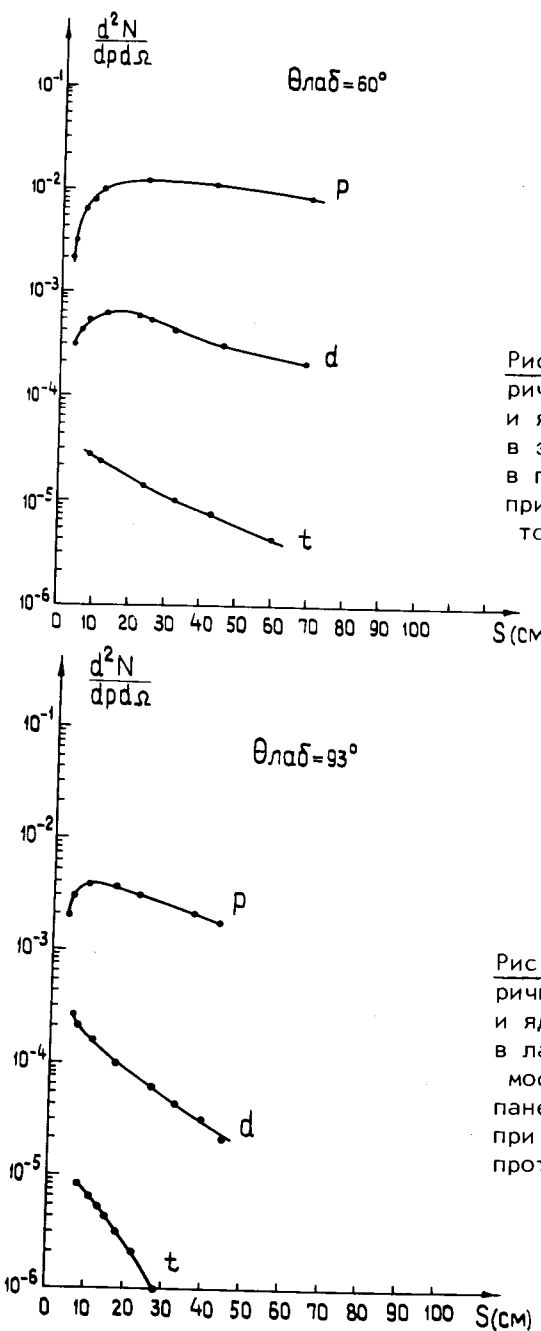


Рис. 5. Распределения вторичных протонов, дейtronов и ядер трития под углом  $60^\circ$  в зависимости от их пробега в пропане в реакции  $p + {}^9Be \rightarrow$  при энергии первичного протона 2,9 ГэВ.

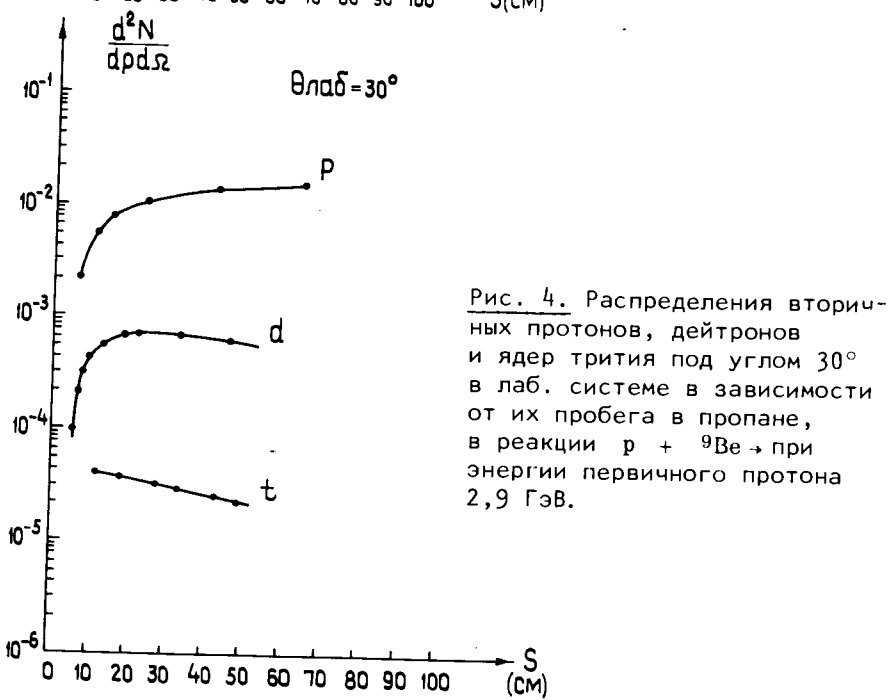


Рис. 4. Распределения вторичных протонов, дейtronов и ядер трития под углом  $30^\circ$  в лаб. системе в зависимости от их пробега в пропане, в реакции  $p + {}^9Be \rightarrow$  при энергии первичного протона 2,9 ГэВ.

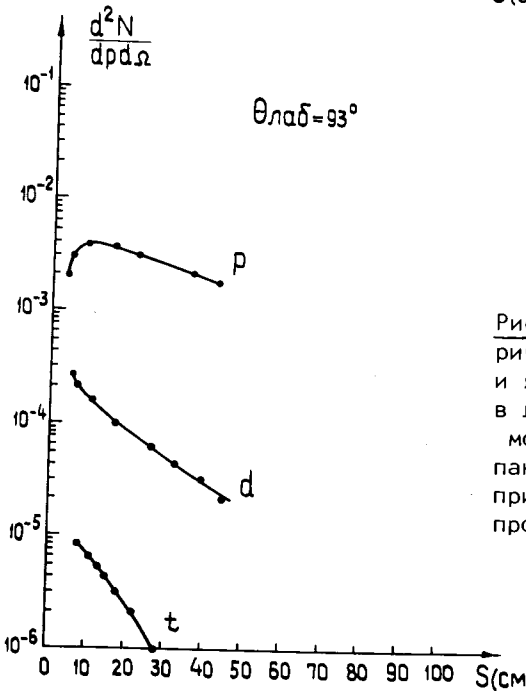


Рис. 6. Распределения вторичных протонов, дейtronов и ядер трития под углом  $93^\circ$  в лаб. системе, в зависимости от их пробега в пропане, в реакции  $p + {}^9Be \rightarrow$  при энергии первичного протона 2,9 ГэВ.

Таблица 4

Дифференциальные сечения образования вторичных протонов, дейtronов и тритонов под углом  $180^\circ$  в лабораторной системе при импульсе первичного протона  $8,6 \text{ ГэВ}/c$

$S_p$ (см)	$P_p$ (ГэВ/c)	$d^2\sigma/dPd\Omega$ мб/ГэВ/c/cр.	$S_d$ (см)	$P_d$ (ГэВ/c)	$d^2\sigma/dPd\Omega$ мб/ГэВ/c/cр.	$S_t$ (см)	$P_t$ (ГэВ/c)	$d^2\sigma/dPd\Omega$ мб/ГэВ/c/cр.
23,2	0,500	$2,221 \pm 0,136$	4,0	0,498	$0,244 \pm 0,027$	5,1	0,700	$0,008 \pm 0,001$
			7,9	0,602	$0,200 \pm 0,044$	12,0	0,901	$0,001 \pm 0,000$
			13,0	0,699	$0,060 \pm 0,004$			
42,5	0,599	$0,980 \pm 0,064$	21,5	0,799	$0,021 \pm 0,005$			
67,8	0,699	$0,277 \pm 0,014$	33,1	0,901	$0,007 \pm 0,000$			
			46,9	1,000	$0,003 \pm 0,001$			

и  $\alpha$ -частицами. Здесь получены дифференциальные сечения образования изотопов  $H$ ,  $He$ ,  $Li$  и  $Be$  в реакции  $d + {}^{12}C \rightarrow$  при энергии дейтрана  $3,1 \text{ ГэВ}/\text{нукл}$ . и в реакции  $\alpha + {}^{12}C \rightarrow$  при энергии  $\alpha$ -частицы  $2,5 \text{ ГэВ}/\text{нукл}$ . под углом  $\theta_{\text{лаб}} = 90^\circ$ . Точность разделения фрагментов по массе и заряду для изотопов водорода и гелия оценивается в 1%.

Максимальная систематическая ошибка в определении абсолютных дифференциальных сечений фрагментации оценивается в 10%. Отношение фоновых событий к полезным не превышает 3%.

Дифференциальные сечения изотопов  $H$ ,  $He$ ,  $Li$  и  $Be$  измерялись в интервале энергий от 5 до  $70 \text{ МэВ}$ . В работе графически и в виде таблицы дана зависимость инвариантного дифференциального сечения фрагмента  ${}^{2}E_n d^3\sigma/dP^3$  от его кинетической энергии. С помощью формулы пробег-импульс вычислена зависимость дифференциального сечения фрагмента  $d^2\sigma/dPd\Omega$  от его пробега в пропане. В табл. 5 и 6 приводятся дифференциальные сечения фрагментов, в зависимости от из пробегов в пропане для реакций  $\alpha + {}^{12}C \rightarrow$  и  $d + {}^{12}C \rightarrow$  соответственно.

Из табл. 5 следует, что относительный выход  ${}^2H$  к  ${}^1H$  для треков, имеющих длину  $0,2 \text{ см}$ , составляет  $27,00\%$ ;  ${}^3H$  к  ${}^1H$  -  $10,05\%$ ;  ${}^3He$  к  ${}^1H$  -  $9,78\%$ ;  ${}^4He$  к  ${}^1H$  -  $16,63\%$  и  ${}^6He$  к  ${}^1H$  -  $0,056\%$ . Из табл. 6 следует, что для треков с  $S = 0,2 \text{ см}$  относительный выход  ${}^2H$  к  ${}^1H$  составляет  $27,06\%$ ;  ${}^3H$  к  ${}^1H$  -  $10,80\%$ ;  ${}^3He$  к  ${}^1H$  -  $9,90\%$ ;  ${}^4He$  к  ${}^1H$  -  $18,06\%$ . Выходы же остальных фрагментов по отношению к  ${}^1H$  равны сотым долям процента.

В работе <sup>7/</sup> рассматривается взаимодействие  $p + {}^{12}C \rightarrow$  при импульсе налетающего протона  $2,3 \text{ ГэВ}/c$ . В табл. 7 приведены дифференциальные сечения образования низкоэнергетических изотопов  $H$ , рождающихся под углом  $90^\circ$  в лабораторной системе, для небольшого интервала энергий, которому соответствуют пробеги в пропане не более чем  $0,3 \text{ см}$ . Для таких треков, как следует из таблицы, выход дейтронов по отношению к выходу протонов равен  $25,00\%$ , выход же ядер трития по отношению к выходу протонов составляет  $11,88\%$ .

Значения отношений выходов вторичных дейтронов и ядер трития к выходам вторичных протонов, имеющих одинаковые

Таблица 5

Дифференциальные сечения рождения фрагментов Н и Не в реакции  $\alpha + {}^{12}\text{C}$  под углом  $\theta_{\text{лаб}} = 90^\circ$  при энергии альфа-частицы 2,5 ГэВ/нукл.

S (см)	$d^2\sigma/dPd\Omega \left( \frac{\text{мб}}{\text{ср} \cdot \text{МэВ/с}} \right)$						$P_{\text{протона}} (\text{МэВ/с})$
	${}^1\text{H}$	${}^2\text{H}$	${}^3\text{H}$	${}^3\text{He}$	${}^4\text{He}$	${}^6\text{He}$	
0,2	0,2248	0,0607	0,0226	0,0220	0,0374	$0,128 \cdot 10^{-3}$	130,0
0,3	-	0,0553	0,0191	0,0192	0,0246	$0,796 \cdot 10^{-4}$	150,5

Таблица 6

Дифференциальные сечения рождения фрагментов Н, Не, Li и Be в реакции  $d + {}^{12}\text{C}$  под углом  $\theta_{\text{лаб}} = 90^\circ$  при энергии дейтрона 3,1 ГэВ/нукл.

S (см)	$d\hat{\sigma}/dPd\Omega \left( \frac{\text{мбарн}}{\text{стерад.МэВ/с}} \right)$										$P_{\text{протона}}$ (МэВ/с)
0,2	0,1726	0,0467	0,0187	0,0171	0,0312	$2,0 \cdot 10^{-4}$	$8,6 \cdot 10^{-4}$	$4,8 \cdot 10^{-4}$	$0,6 \cdot 10^{-4}$	$2,9 \cdot 10^{-4}$	130
0,3	0,1551	0,0429	0,0161	0,0148	0,0202	$1,8 \cdot 10^{-4}$	$3,8 \cdot 10^{-4}$	$2,0 \cdot 10^{-4}$	$0,4 \cdot 10^{-4}$	$2,6 \cdot 10^{-4}$	150,5
0,5	0,1350	0,0357	0,0114	0,0106	0,0091	$0,7 \cdot 10^{-4}$	$2,7 \cdot 10^{-4}$	-	$0,2 \cdot 10^{-4}$	$1,0 \cdot 10^{-4}$	168,4
0,7	0,1217	0,0300	0,0084	0,0083	-	-	-	$0,7 \cdot 10^{-4}$	$0,1 \cdot 10^{-4}$	$0,6 \cdot 10^{-4}$	179,4
0,8	-	-	-	0,0073	-	$0,4 \cdot 10^{-4}$	$1,1 \cdot 10^{-4}$	$0,5 \cdot 10^{-4}$	$0,1 \cdot 10^{-4}$	$0,5 \cdot 10^{-4}$	189,7
1,0	-	-	-	-	-	$0,3 \cdot 10^{-4}$	$0,8 \cdot 10^{-4}$	$0,4 \cdot 10^{-4}$	$0,1 \cdot 10^{-4}$	$0,4 \cdot 10^{-4}$	200,1
1,3	-	-	-	$4,1 \cdot 10^{-3}$	$3,0 \cdot 10^{-3}$	$0,2 \cdot 10^{-4}$	$0,4 \cdot 10^{-4}$	$0,2 \cdot 10^{-4}$	-	$0,3 \cdot 10^{-4}$	218,0
1,5	-	-	-	$3,7 \cdot 10^{-3}$	$2,4 \cdot 10^{-3}$	$0,1 \cdot 10^{-4}$	$0,2 \cdot 10^{-4}$	$0,1 \cdot 10^{-4}$	-	-	226,7
2,0	-	-	-	$2,8 \cdot 10^{-3}$	$1,6 \cdot 10^{-3}$	-	-	-	-	-	243,2

Таблица 7

Дифференциальные сечения образования изотопов Н под углом  $\theta_{\text{лаб}} = 90^\circ$

Изотоп	Интервал энергий (МэВ)	$d\sigma/d\Omega$ (мб/ср)
$^1\text{H}$	3-11	16,4±0,5
$^2\text{H}$	5-14	4,1±0,3
$^3\text{H}$	6-17	1,9±0,2

пробеги в пропане, т.е. значения  $\beta_{d,t} = \frac{(d^2\sigma/dP d\Omega)_{d,t}}{(d^2\sigma/dP d\Omega)_p}$  в %,

которые можно получить из данных вышеизложенных работ, приведены в табл. 8. Содержимое таблицы может служить для оценок вклада однозарядных ионов, ошибочно идентифицированных как протоны.

В заключение авторы благодарят П.П. Темникова за обсуждение.

Таблица 8

Значения отношений выходов вторичных дейtronов и ядер трития к выходам вторичных протонов  $\beta_d$  и  $\beta_t$  в % при различных условиях и для вторичных треков разных длин

№	Реакция	Начало спаркера (ГэВ/с)	Угол эманации (град)	Длина трека соответ- ствующего протону (см)	Относит. выход $\beta_d$ (%)	Относит. выход $\beta_t$ (%)	Ссылка
I	$p + ^{14}\text{C} \rightarrow 3,70$	18	4	0,300	4,0	-	4
2	— II — 3,70	18	23	0,505	6,2	-	4
3	— II — 3,70	18	43	0,610	6,1	-	4
4	— II — 3,70	50	6,5	0,350	10,0	-	4
5	— II — 3,70	30	22	0,500	6,3	0,30	4
6	— II — 3,70	30	42	0,600	4,0	0,16	4
7	— II — 3,70	60	4	0,300	10,0	-	4
8	— II — 3,70	60	23	0,500	3,8	0,10	4
9	— II — 3,70	60	43	0,610	3,10	0,06	4
10	— II — 3,70	93	5	0,320	10,0	-	4
II	— II — 3,70	93	22	0,500	2,7	0,07	4
12	— II — 3,70	93	43	0,610	1,2	-	4
13	— II — 6,57	187	4	0,300	4,0	-	3
14	— II — 6,57	187	22	0,500	1,6	-	3
15	— II — 8,60	180	22	0,500	0,9	-	5
16	$d + ^{14}\text{C} \rightarrow 3,90$	90	0,2	0,180	27,1	10,1	6
17	— II — 3,90	90	0,5	0,185	26,4	8,4	6
18	— II — 3,90	90	0,7	0,180	24,6	6,9	6
19	$d + ^{14}\text{C} \rightarrow 5,30$	90	0,2	0,180	27,0	1,0	6

## **ЛИТЕРАТУРА**

1. Strenheimer R.M. *Phys. Rev.*, 1960, 118, p.1045.
2. Бриль и др. В сб.: Ядерные взаимодействия в защите космических кораблей. "Наука", М., 1968.
3. Баюков Ю.Д. и др. ЯФ, 1967, т.5, 2, с.337.
4. Pirone P.A., Smith A.J. *Phys. Rev.*, 1966, 148, 4, p.1315.
5. Балдин А.М. ОИЯИ, Р1-11302, Дубна, 1978.
6. Безногих Г.Г. и др. ОИЯИ, Р1-10944, Дубна, 1977.
7. Авдейчиков В.В. и др. ЯФ, 1977, т.25, 1, с.3.

*Рукопись поступила в издательский отдел  
28 марта 1979 года.*